

УДК 539.12.01

## «НЕВИДИМАЯ» ШИРИНА Z-БОЗОНА И ОГРАНИЧЕНИЯ НА СУПЕРСИММЕТРИЧНОЕ РАСШИРЕНИЕ СТАНДАРТНОЙ МОДЕЛИ С ДОПОЛНИТЕЛЬНЫМ СИНГЛЕТНЫМ БОЗОНОМ (NMSSM)

**В.А.Бедняков, А.Н.Ковалев**

В модели, представляющей собой суперсимметричное расширение стандартной модели с дополнительным синглетным бозоном Хиггса — Next-to-Minimal Supersymmetric Standard Model (NMSSM), рассмотрен распад  $Z^0$ -бозона на два нейтрино — два нейтральных суперпартнера калибривочных и хиггсовых бозонов. Ненаблюдение этого канала распада накладывает определенные ограничения на параметрическое пространство NMSSM. С учетом ускорительных и космологических ограничений показано, что при современной точности измерений ограничения на «невидимую» ширину  $Z$ -бозона вступают в силу лишь в достаточно узкой области параметрического пространства, где кинематически разрешен  $Z$ -распад не только на легчайшие, но и на более тяжелые нейтрино. Увеличение точности измерения ширины распада  $Z$ -бозона примерно на порядок привело бы к существенной редукции пространства параметров NMSSM за счет ненаблюдения рассматриваемого канала распада.

Работа выполнена в Лаборатории ядерных проблем ОИЯИ

### **Invisible $Z$ -Boson Width and Restrictions on Next-to-Minimal Supersymmetric Standard Model**

**V.A.Bednyakov, A.N.Kovalev**

In Next-to-Minimal Supersymmetric Standard Model (NMSSM), the  $Z$ -boson decay into two neutralinos — neutral superpartners of gauge bosons and Higgs bosons, was considered. From non-observation of the decay mode of the  $Z$ -boson one can derive some limitation on the NMSSM parameter space. With accelerator and cosmological restrictions we show that the nowadays precision of measurement of the invisible  $Z$ -boson width becomes important only in quite narrow domain of the parameter space. In this domain the extra  $Z$ -decay channel into next-to-lightest neutralino opens. The increase of the precision of the measurement of invisible  $Z$ -decay width in a factor of 10 would strongly reduce the NMSSM parameter space.

The investigation has been performed at the Laboratory of Nuclear Problems, JINR.

#### **Введение**

Стандартная модель сильных и электрослабых взаимодействий (СМ) хорошо описывает известные на сегодняшний день явления. Однако большое количество свободных параметров, формальное объединение слабого и электромагнитного взаимодействий, отсутствие объяснения происхождению масс частиц, наличию трех поколе-

лений фермионов и т.д. не позволяют считать СМ фундаментальной теорией. На пути ее расширения и обобщения одной из привлекательных концепций считается суперсимметрия [1].

Наиболее популярной в настоящее время является минимальным суперсимметричным образом расширенная стандартная модель — Minimal Supersymmetric Standard Model (MSSM) [2]. В этой модели число частиц удваивается (путем введения суперпартнера для каждой обычной частицы) и минимально необходимым образом расширяется хиггсовский сектор за счет добавления второго дублета бозонов Хиггса. Наличие двух дублетов бозонов Хиггса  $H_1$  и  $H_2$  с различными гиперзарядами  $Y = \pm 1/2$  и вакуумными ожиданиями  $v_1$  и  $v_2$  позволяет, не нарушая симметрии супер势能, наделить массами как up, так и down кварки.

Однако MSSM не является единственным допустимым расширением СМ, и все большее внимание привлекают к себе суперсимметричные модели с дополнительными хиггсовыми дублетами, синглетами и триплетами. Интерес к ним вызван тем, что в них удается избежать некоторых ограничений, свойственных MSSM.

В данной работе мы рассмотрим другое расширение СМ — Next-to-Minimal Supersymmetric Standard Model (NMSSM), которая отличается от MSSM наличием дополнительного синглетного бозона Хиггса [3].

Интерес к NMSSM главным образом обусловлен отсутствием в этой модели так называемой  $\mu$ -проблемы, присущей MSSM, где происхождение размерного параметра  $\mu$  в супер势能  $W_{\text{MSSM}} = \mu H_1 H_2$  пока не поддается объяснению. С феноменологической точки зрения этот параметр должен по порядку величины не сильно отличаться от электрослабого масштаба (примерно 100 ГэВ), тогда как «естественный» массовый масштаб — это масштаб объединения ( $10^{16}$  ГэВ) или даже масса Планка. В NMSSM  $\mu$ -член возникает динамическим образом за счет связи  $\mu = \lambda x$  с безразмерной константой  $\lambda$  и вакуумным средним  $x$  синглетного по слабому взаимодействию бозона Хиггса.

Другой привлекательной стороной NMSSM является тот факт, что экспериментальные ограничения на значения масс нейтрино и бозонов Хиггса в значительной мере ослаблены [4].

Выясним, как экспериментальные данные о «невидимой» ширине распада Z-бозона (т.е. распада в каналы, содержащие только нейтральные частицы) —  $\Sigma \Gamma(Z \rightarrow \psi_i^0 \psi_j^0) > 30$  МэВ — ограничивают допустимые значения параметров NMSSM.

## Описание модели

Супер势能 NMSSM дается выражением

$$W = \lambda \varepsilon_{ij} H_1^i H_2^j N - \frac{1}{3} k N^3 + h_u \varepsilon_{ij} \tilde{Q}^i \tilde{U} H_2^j - h_d \varepsilon_{ij} \tilde{Q}^i \tilde{D} H_1^j - h_e \varepsilon_{ij} \tilde{L}^i \tilde{R} H_1^j,$$

где  $H_1 = (H_1^0, H_1^-)$  и  $H_2 = (H^+, H_2^0)$  —  $SU(2)$ -дублеты хиггсовых бозонов с гиперзарядами  $-1/2$  и  $1/2$ , а  $N$  — хиггсов синглет с гиперзарядом 0. Электрослабая калибровочная симметрия  $SU(2)_Y \times U(1)_Y$  нарушена до электромагнитной калибровочной

симметрии  $U(1)_{\text{em}}$  посредством хиггсовых VEV  $\langle H_i^0 \rangle = v_i$  с  $i = 1, 2$  и  $\langle N \rangle = x$ , где  $v = \sqrt{v_1^2 + v_2^2} = 174$  ГэВ и  $\tan \beta = v_2/v_1$ .

Мягкий, нарушающий суперсимметрию член в лагранжиане:

$$\begin{aligned} -L_{\text{soft}} = V_{\text{soft}} &= m_1^2 |H_1|^2 + m_2^2 |H_2|^2 + m_3^2 |N|^2 + \\ &+ m_Q^2 |\tilde{Q}|^2 + m_U^2 |\tilde{U}|^2 + m_D^2 |\tilde{D}|^2 + m_l^2 |\tilde{L}|^2 + m_E^2 |\tilde{R}|^2 - \\ &- (\lambda A_\lambda \epsilon_{ij} H_1^i H_2^j N + h.c.) - \left( \frac{1}{3} k A_k N^3 + h.c. \right) + (h_u A_u \epsilon_{ij} \tilde{Q}^i \tilde{U} H_2^j + \\ &- h_d A_D \epsilon_{ij} \tilde{Q}^i \tilde{D} H_1^j - h_e A_E \epsilon_{ij} \tilde{L}^i \tilde{R} H_1^j + h.c.) + \frac{1}{2} M_1 \lambda^a \lambda^a + \frac{1}{2} M_2 \lambda' \lambda'. \end{aligned}$$

Свободными параметрами NMSSM являются  $\tan \beta$ ,  $x$ ,  $\lambda$ ,  $k$ ,  $M_1$ ,  $M_2$ ,  $A_{\lambda,k,U,D,E}$ ,  $m_{1,2,3}$ ,  $m_{Q,U,D}$  и  $m_{L,E}$ . Нас будут интересовать первые шесть из них:  $\tan \beta = v_2/v_1$ , где  $v_i = \langle H_i^0 \rangle$  ( $i = 1, 2$ ) — вакуумные ожидания дублета хиггсовых бозонов,  $x = \langle N \rangle$  — вакуумное ожидание хиггсового синглета,  $\lambda, k$  — константы связи в суперпотенциале и массовые параметры суперпартнеров калибровочных бозонов  $M_1$  и  $M_2$ .

В NMSSM суперпартнераы калибровочных и хиггсовых бозонов (гейджино и хиггсино) смешиваются, образуя заряженные (чарджино) и нейтральные (нейтралино) массовые состояния. Дополнительный вклад в «невидимую» ширину распада Z-бозона дают каналы распада, в которых продуктами являются нейтральные частицы. Рассмотрим подробнее нейтралиновый сектор NMSSM. Лагранжиан, содержащий массовые члены нейтральных компонент гейджино и хиггсино, имеет вид

$$L = -\frac{1}{2} \Psi^T M \Psi + h.c., \quad \Psi^T = \left( -i\lambda_1, -i\lambda_2^3, \Psi_{H_1}^0, \Psi_{H_2}^0, \Psi_N \right),$$

где введена симметричная массовая матрица

$$M = \begin{pmatrix} -M_1 & 0 & -m_Z c_\beta s_W & m_Z s_\beta s_W & 0 \\ 0 & -M_2 & m_Z c_\beta c_W & -m_Z s_\beta c_W & 0 \\ -m_Z c_\beta s_W & m_Z c_\beta c_W & 0 & \lambda x & \lambda v s_\beta \\ m_Z s_\beta s_W & -m_Z s_\beta c_W & \lambda x & 0 & \lambda v c_\beta \\ 0 & 0 & \lambda v s_\beta & \lambda v c_\beta & -2kx \end{pmatrix}.$$

Здесь  $c_\beta = \cos \beta$ ,  $s_\beta = \sin \beta$ ,  $c_W = \cos \theta_W$ ,  $s_W = \sin \theta_W$  ( $\theta_W$  — угол Вайнберга),  $m_Z$  — масса Z-бозона. В общем случае для диагонализации  $M$  требуется унитарная матрица  $N$ , тогда собственные значения масс всех нейтралино будут положительны:

$$L = -\frac{1}{2} m_i \tilde{\chi}_i^0 \tilde{\chi}_i^0, \quad \tilde{\chi}_i^0 = \begin{pmatrix} \chi_i^0 \\ \bar{\chi}_i^0 \end{pmatrix},$$

где  $\chi_i^0 = N_{ij} \Psi_j$  и  $M_{\text{diag}} = N^* M N^\tau$ , причем  $\tilde{\chi}_i$  ( $i = 1-5$ ) — физические майорановские спиноры с возрастающими массами  $m_i$ .

Итак, исследуя процессы с участием нейтралино, возможно получить информацию о первых шести свободных параметрах NMSSM.

Лагранжиан, отвечающий за распад Z-бозона в нейтралино, имеет вид:

$$L_{Z_0 \tilde{\chi}^0 \tilde{\chi}^0} = \left( \frac{g}{\cos \theta_W} \right) Z_\mu \left[ \frac{1}{2} \bar{\tilde{\chi}}_i^0 \gamma^\mu (A_L^{ij} P_L + A_R^{ij} P_R) \tilde{\chi}_j^0 \right],$$

где

$$A_L^{ij} = -\frac{1}{2} N_{i3} N_{j3}^* + \frac{1}{2} N_{i4} N_{j4}^*, \quad A_R^{ij} = -A_L^{ij*}.$$

Майорановский характер нейтралино обеспечивает выполнение следующих соотношений:

$$A_R^{ij*} = A_R^{ij}, \quad A_L^{ij*} = A_L^{ij}.$$

Ширина распада  $Z^0(k) \rightarrow \chi_i(k_i) \chi_j(k_j)$  дается выражением

$$\Gamma_{Z \chi_i \chi_j} = \frac{\lambda^{1/2}}{16\pi M_Z^3} \frac{\overline{|M|^2}}{1 + \delta_{ij}},$$

где

$$\begin{aligned} \lambda &\equiv \lambda(M_Z^2, m_i^2, m_j^2) = M_Z^4 - 2(m_i^2 + m_j^2)M_Z^2 + (m_i^2 + m_j^2)^2 = \\ &= (M_Z^2 - (m_i - m_j)^2)(M_Z^2 - (m_i + m_j)^2), \end{aligned}$$

и

$$\begin{aligned} \overline{|M|^2} &= -\frac{8}{3\sqrt{2}} G_F \{ (|A_L^{ij}|^2 + |A_R^{ij}|^2) [M_Z^2(m_j^2 + m_i^2) + (m_j^2 - m_i^2)^2 - 2M_Z^4] - \\ &- 12M_Z^2 m_i m_j [\text{Re} A_L^{ij} (A_R^{ij})^*] \}. \end{aligned}$$

Это выражение для ширины распада Z в нейтралино использовалось далее при численном анализе.

### Результаты численного анализа

Методом исследования пространства параметров NMSSM было псевдослучайное сканирование, т.е. такая процедура, при которой из некоторой области допустимых значений параметров модели случайным образом выбиралась точка и для нее вычислялись значения масс всех частиц и некоторые наблюдаемые величины. Если вычисленные значения удовлетворяли физическим условиям, точка запоминалась, если нет — отбрасывалась. Такими условиями были экспериментальные ограничения на массы, полученные из анализа данных с ускорителей LEP и FermiLab [5]:

$$\begin{aligned} \text{масса глюино} &< 100 \text{ ГэВ} \\ \text{масса чарджино} &< 85 \text{ ГэВ} \\ \text{масса скалярного нейтрино} &< 45 \text{ ГэВ} \end{aligned}$$

$$\begin{aligned}
 \text{масса скалярного электрона} &< 45 \text{ ГэВ} \\
 \text{масса скалярного кварка} &< 150 \text{ ГэВ} \\
 \text{масса скалярного топа} &< 60 \text{ ГэВ} \\
 \text{масса нейтрального хигтса} &< 1 \text{ ГэВ} \\
 \text{масса заряженного хигтса} &< 65 \text{ ГэВ}
 \end{aligned}$$

Другим физическим критерием было ограничение на реликтовую плотность нейтралино. Нейтралино, будучи нейтральными, стабильными и слабовзаимодействующими частицами, считаются в настоящее время одними из наиболее вероятных кандидатов на роль частицы холодной темной материи. Известно [6], что приемлемое с космологической точки зрения нейтралино должно иметь реликтовую плотность в интервале

$$0,025 < \Omega_{\chi} h_0^2 < 1.$$

В этом случае, с одной стороны, плотность нейтралино не столь велика, чтобы Ессененная была замкнутой, с другой стороны, нейтралино составляет значительную долю темной материи.

В каждой точке вычислялась ширина распада  $Z$  в 2 нейтралино. Массовая  $5 \times 5$ -матрица диагонализовалась численно.

Псевдослучайное сканирование проводилось в следующей области параметров:

$$\begin{aligned}
 0,1 \text{ ГэВ} < M_1 < 70 \text{ ГэВ}; \quad -2000 \text{ ГэВ} < M_2 < 2000 \text{ ГэВ}; \\
 1 < \tan \beta < 50; \quad 1000 \text{ ГэВ} < x < 10000 \text{ ГэВ}; \\
 -0,63 < k < 0,0; \quad -0,87 < \lambda < 0,0.
 \end{aligned}$$

Массовый параметр  $M_1$  изменялся до 70 ГэВ. При значениях  $M_1 > 70$  ГэВ интересующий нас распад практически невозможен, т.к. масса легчайшего нейтралино становится такова, что распад  $Z$  в нейтралино кинематически запрещен.

В результате тщательного изучения параметрического пространства была обнаружена область, в которой ширина распада  $Z$ -бозона была достаточно велика ( $6 \times 10^{-2}$  ГэВ) и превышала экспериментальный барьер

$$\sum_{ij} \Gamma(Z \rightarrow \tilde{\chi}_i^0 \tilde{\chi}_j^0) < 0,03 \text{ ГэВ.}$$

По этой причине находящиеся в этой области точки следует, вообще говоря, отбросить (рис.1,2). Хорошо заметен на этих рисунках несимметричный относительно знака  $M_2$  характер области больших значений ширины. Для  $M_2 > 0$  ГэВ при произвольных значениях остальных параметров не было найдено ни одной точки со значением ширины  $Z$  больше 0,0055 ГэВ (рис.1,2).

Точки с большими значениями ширины группируются в области значений  $-400 \text{ ГэВ} < M_2 < 0 \text{ ГэВ}$  и  $1 < \tan \beta < 6$ . В данной области имеются две группы точек. Первая — содержащая большую часть точек, с ограниченной сверху 0,003—0,004 ГэВ шириной, причем эта верхняя граница падает при  $\tan \beta \rightarrow 1$  и  $M_2 \rightarrow 0$ . Точки плотно расположены в области  $M_2 < -150$  ГэВ,  $\tan \beta > 2$  и соответствующей области  $x - \lambda$ . Вторая группа, более разреженная, соответствует большим значениям ширины (рис.1).

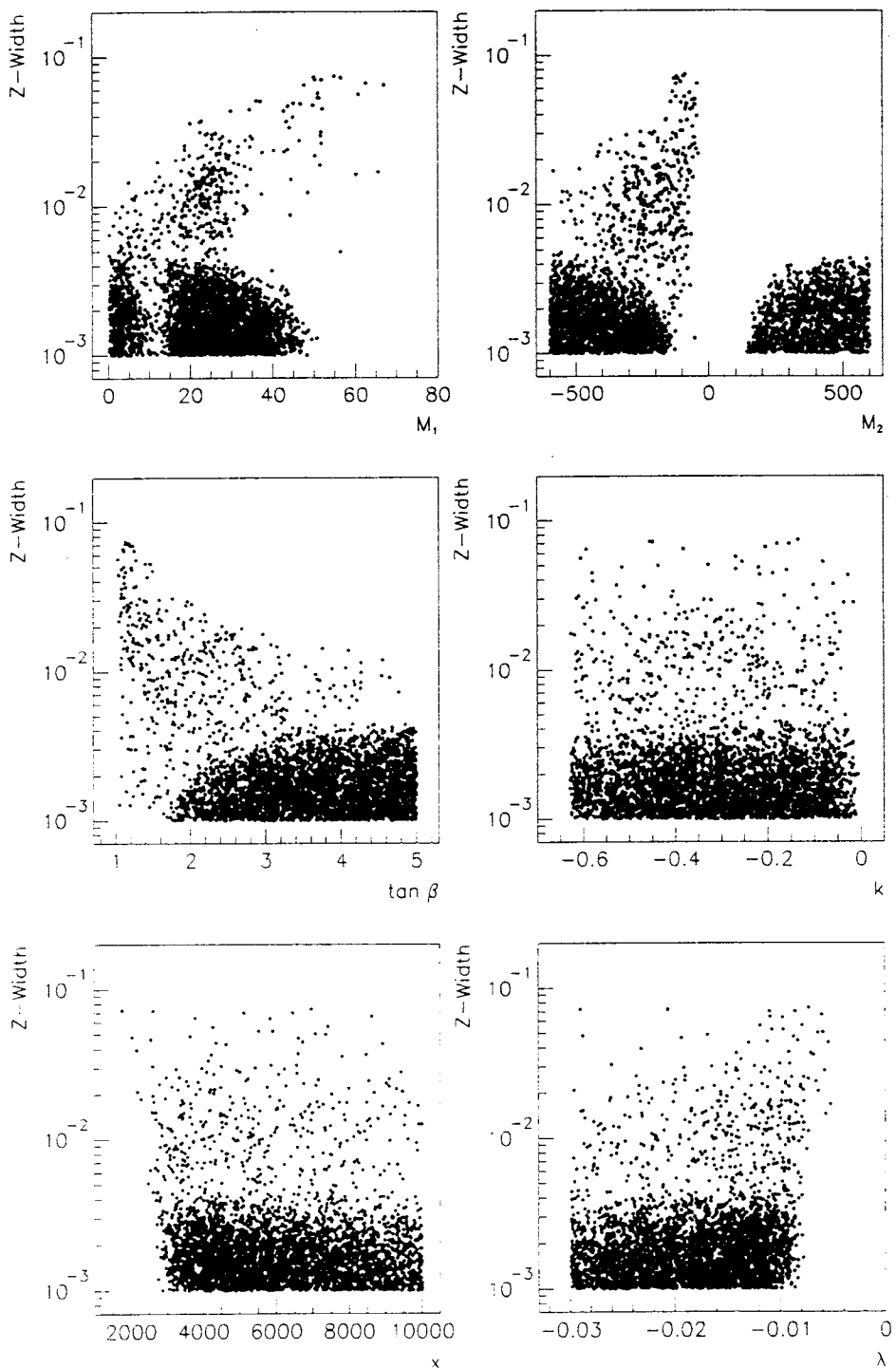
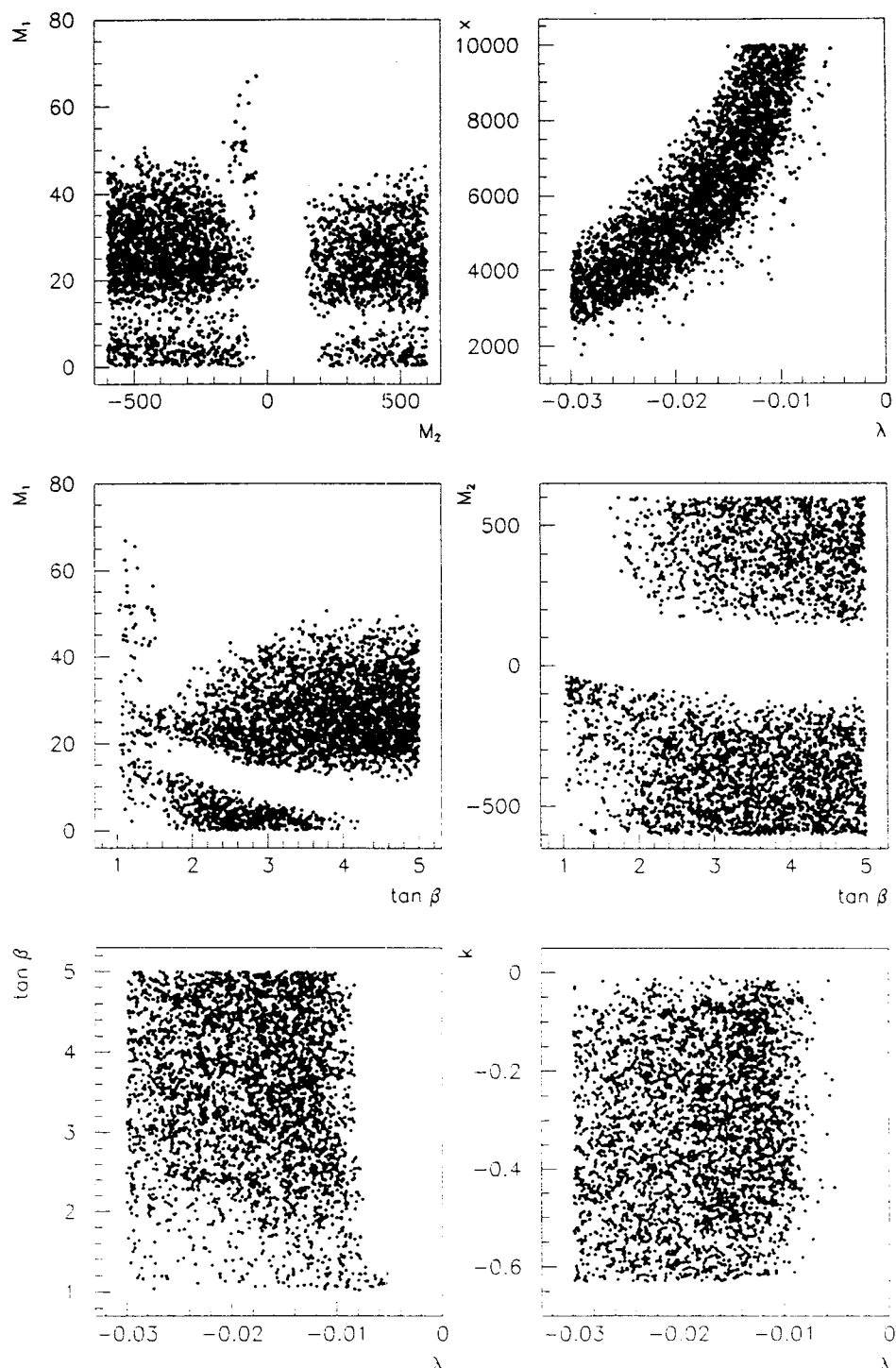


Рис.1. Зависимость  $\Gamma(Z \rightarrow \chi\chi)$  от параметров модели при  $\Gamma(Z \rightarrow \chi\chi) > 10^{-3}$  ГэВ

Рис.2. Корреляции между параметрами модели при  $\Gamma(Z \rightarrow \chi\chi) > 10^{-3}$  ГэВ

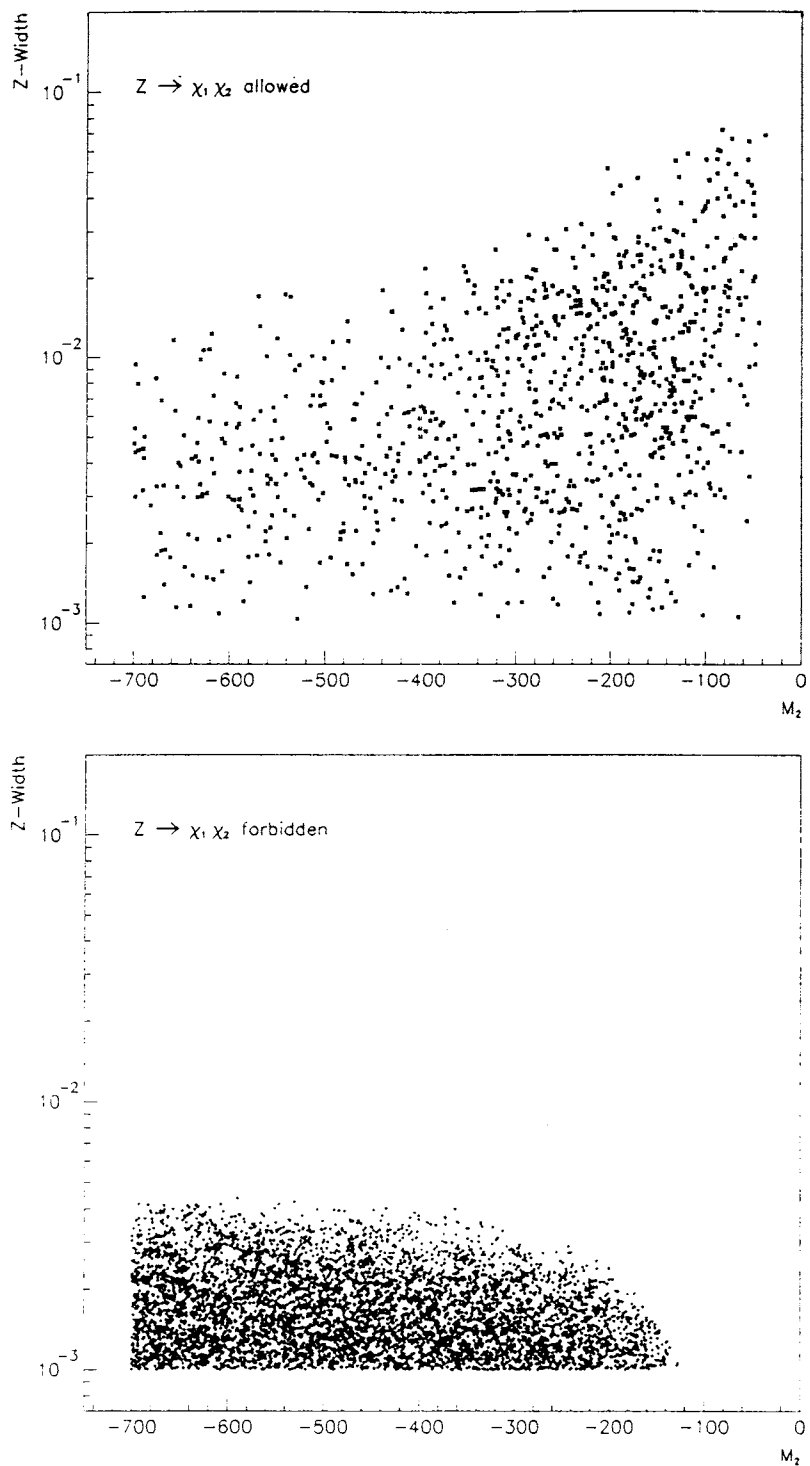


Рис.3. Зависимость  $\Gamma(Z \rightarrow \chi\chi)$  от  $M_2$  для различных каналов распада

Однако при  $M_2 < -700$  ГэВ или  $\tan \beta > 6$  точек с шириной больше 0,01 ГэВ не обнаружено. Точки со значениями ширины распада Z-бозона больше 0,03 ГэВ содержатся в области  $20 \text{ ГэВ} < M_1 < 70 \text{ ГэВ}$ ,  $-250 \text{ ГэВ} < M_2 < -40 \text{ ГэВ}$ ,  $1 < \tan \beta < 2$  и группируются в узкой гиперболообразной полоске  $x - \lambda$ , которая, в свою очередь, прижимается к оси  $\lambda = 0$  (рис.2).

Существование этих двух групп точек становится ясным при исследовании соответствующих им значений масс нейтралино (рис.3). Основным кинематически разрешенным каналом распада Z в нейтралино является  $Z \rightarrow \chi_1 + \chi_1$ . Было обнаружено, что для положительных значений  $M_2$  разрешенным каналом распада является лишь  $Z \rightarrow \chi_1 + \chi_1$ . Не было найдено ни одной точки с разрешенными  $Z \rightarrow \chi_1 + \chi_{2,3}$  или  $Z \rightarrow \chi_2 + \chi_2$ .

При  $M_2 < 0$  ГэВ существует группа точек с разрешенным каналом  $Z \rightarrow \chi_1 + \chi_2$  (рис.3). Эта группа и является группой больших значений ширины. Другие каналы распада в указанной области по-прежнему остаются запрещенными (было найдено всего 3 точки с разрешенным распадом  $Z \rightarrow \chi_2 + \chi_2$ ).

Структура параметрического пространства такова, что нельзя выделить некоторый регион параметров, где бы все точки были исключены условием на «невидимую» ширину. В любой окрестности точки, с шириной, превышающей некоторую величину, можно найти разрешенные точки с малой или даже нулевой шириной. Однако критерий на «невидимую» ширину ограничивает пространство параметров NMSSM, уже сейчас практически полностью исключены области параметров, отвечающие второму,  $Z \rightarrow \chi_1 + \chi_2$ , возможному каналу распада Z-бозона.

Более сильные ограничения на область значений параметров модели могут быть получены, если точность измерения «невидимой» ширины распада Z будет увеличена до 0,004–0,005 ГэВ. В этом случае решающее редуцирующее значение принимает уже основной канал распада Z-бозона,  $Z \rightarrow \chi_1 + \chi_1$ .

## Заключение

В модели, представляющей собой суперсимметричное расширение стандартной модели с дополнительным синглетным бозоном Хиггса, рассмотрен распад  $Z^0$ -бозона на два нейтралино. Ненаблюдение этого канала распада накладывает ограничения на параметрическое пространство NMSSM. Путем превдослучайного сканирования этого пространства показано, что значение обсуждаемой ширины распада Z-бозона в среднем не превышает имеющегося в настоящее время ограничения на «невидимую» ширину Z-бозона (0,03 ГэВ). По этой причине при современной точности измерений эти ограничения вступают в силу лишь в достаточно узкой области параметрического пространства, где кинематически разрешен Z-распад как на легчайшие, так и на более тяжелые нейтралино. Анализ проведен с учетом ограничений на допустимые значения масс суперсимметричных частиц и космологического ограничения на возраст Вселенной, связанного с реликтовой плотностью легчайших нейтралино.

Увеличение точности измерения ширины распада Z-бозона примерно на порядок привело бы к существенной редукции пространства параметров NMSSM за счет ненаблюдения рассматриваемого канала распада.

### Литература

1. Haber H.E., Kane G.L. — Phys. Rep., 1985, v.117, p.75;  
Gunion J.F., Haber H.E. — Nucl. Phys., 1986, v.B272, p.1.
2. См., например, G.Jungman, M.Kamionkowski and K.Griest Phys. Rep., 1996, v.267, p.195 and references thierin.
3. Ellis J., Gunion J.F., Haber H.E., Roszkowski L., Zwirner F. — Phys. Rev., 1989, v.D39, p.844;  
Ellwanger U. — Phys. Lett., 1993, v.B303, p271;  
Elliott T., King S.F., White P.L. — Phys. Lett., 1993, v.B314, p.56; Phys. Rev., 1994, v.D49, p.2435;  
Pandita P.N. — Z. Phys., 1993, v.C59, p.575;  
Abel S.A., Sarkar S., Whittingham I.B. — Nucl.Phys., 1993, v.B392, p.83;  
Stephan A. — Phys.Lett., 1997, v.B411, p.97 and hep-ph 9709262;  
Franke F., Fraas H. — Z.Phys., 1996, v.C72, p.309-325, hep-ph/9511275.
4. Franke F., Fraas H., Bartl A. — Phys. Lett., 1994, v.B336, p.415;  
Franke F., Fraas H., Bartl A. — Phys. Lett., 1995, v.B335, p234.
5. ALEPH Collab, Decamp D. et al. — Phys. Rep., 1992, v.216, p.253;  
L3 Collab, Adriani O. et al. — Phys. Rep., 1993, v.236, p.1;  
ALEPH Collaboration, Buskulic D. et al. — Phys. Lett., 1993, v.B313, p.312;  
OPAL Collaboration, Akers R. et al. — Z. Phys., 1994, v.C64, p.1.
6. KolbE.W., Turner M.S. — The early Universe. Addison-Wesley, 1990.  
Griest K. Seckel D. — Phys. Rev., 1991, v.D43, p.3191;  
Nath P., Arnowitt R. — Phys. Rev. Lett., 1993, v.70, p.3696;  
Gelmini G.,GondoloP. — Nucl. Phys., 1991, v.B360, p.145.  
Steigman G., Olive K.A., Schramm D.N., Turner M.S. — Phys. Lett., 1986, v.B176, p.33;  
Ellis J., Enquist K., Nanopoulos D.V., Sarkar S. — Phys. Lett., 1986, v.B167, p.457.  
Nath P., Arnowitt R. — Phys. Rev. Lett., 1993, v.70, p.3696.